BOLETIN AGROMETEOROLÓGICO DECÁDICO

SEGUNDA DÉCADA DE OCTUBRE 2026

“2026 - Año Internacional de la Agricultora” (FAO)

Servicio Meteorológico Nacional
Argentina

Edición:

Natalia Soledad Bonel
Agrometeorología
Dirección Servicios Sectoriales
Servicio Meteorológico Nacional

Redactores:

Natalia Soledad Bonel
Élida Carolina González Morinigo
María Eugenia Bontempi
Luciana Stoll Villarreal
Agrometeorología
Dirección Servicios Sectoriales
Servicio Meteorológico Nacional

Dirección Postal:

Servicio Meteorológico Nacional
Dorrego 4019 (C1425GBE)
Ciudad Autónoma de Buenos Aires. Argentina

Teléfonos:

5167-6767 (interno 18901)

Correo Electrónico:

agro@smn.gob.ar

Servicio Meteorológico Nacional
Argentina

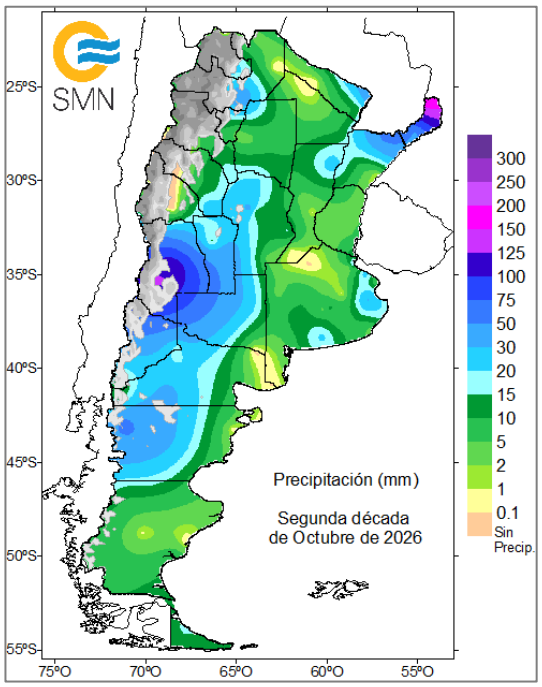
BOLETÍN AGROMETEOROLÓGICO DECÁDICO

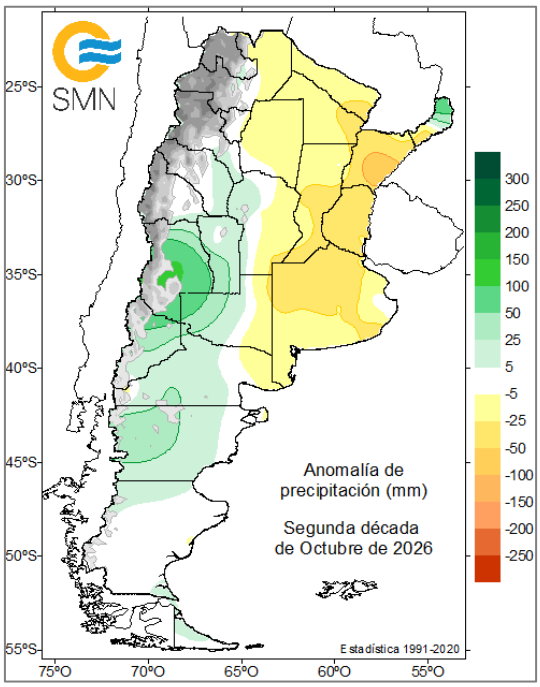
SEGUNDA DÉCADA de OCTUBRE de 2026

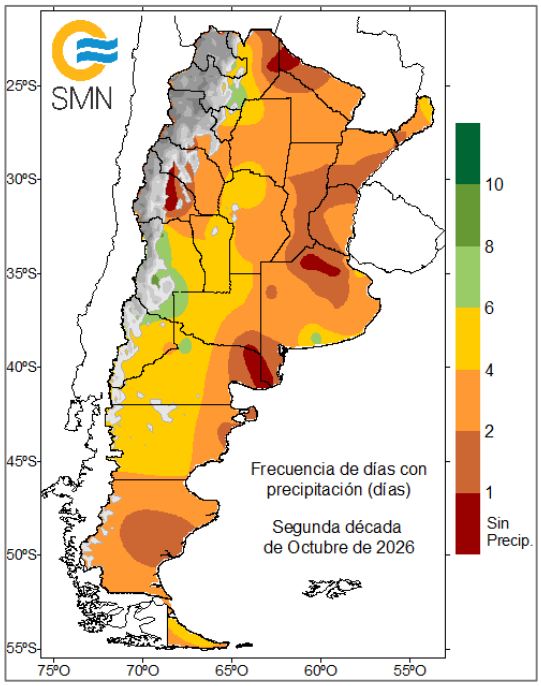
Durante la mayor parte de la década, se observó el centro anticiclónico del Atlántico Sur posicionado frente a la costa patagónica, que provocó la persistencia de vientos predominantes del SE y del E en el norte y centro-este del territorio, con ingreso de aire frío y húmedo, favoreciendo el bloqueo atmosférico y las condiciones de cielo cubierto. En el final del periodo, el corrimiento del anticiclón hacia el este permitió el cambio de la circulación a vientos del norte.

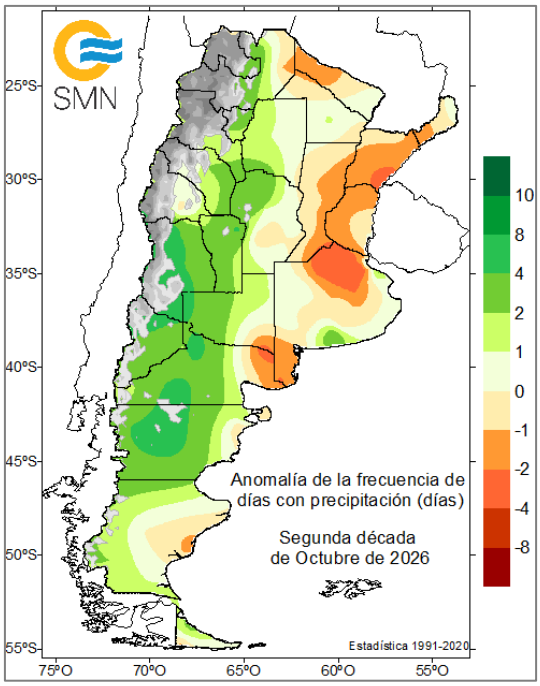
Las precipitaciones más abundantes ocurrieron en el norte del Litoral y en el noroeste de la Patagonia y sur de Cuyo, región esta última que se destacó principalmente por registrar los mayores desvíos absolutos y porcentuales, y una frecuencia de días lluviosos anómalamente alta.

ESTACIÓN	Iguazú	Bernardo de Irigoyen	Malargüe	San Rafael
PROVINCIA	Misiones	Misiones	Mendoza	Mendoza
PRECIPITACIÓN (mm)	**173.0**	149.0	131.1	122
DESVÍO (mm)	93.4	55.5	**124.7**	110.6
DESVÍO PORCENTUAL (%)	117.3	59.4	**1948.4**	970.2
DÍAS CON LLUVIA	4	5	**9**	6
ANOMALÍA DE LA FRECUENCIA (días)	-0.1	0.6	**7.5**	4.3

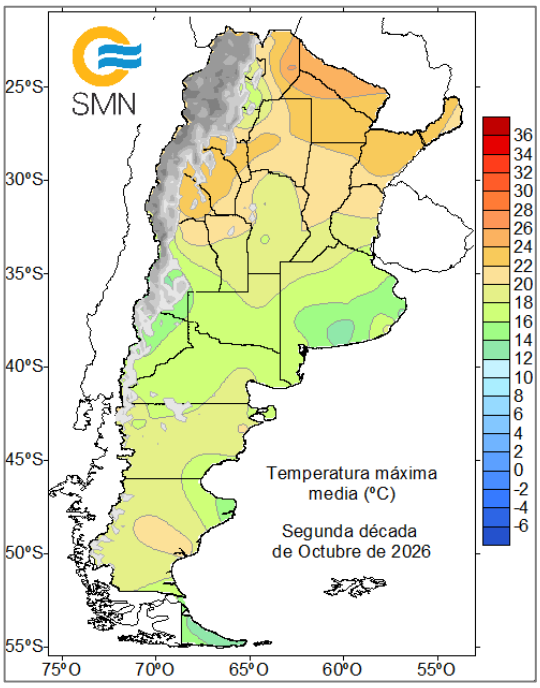


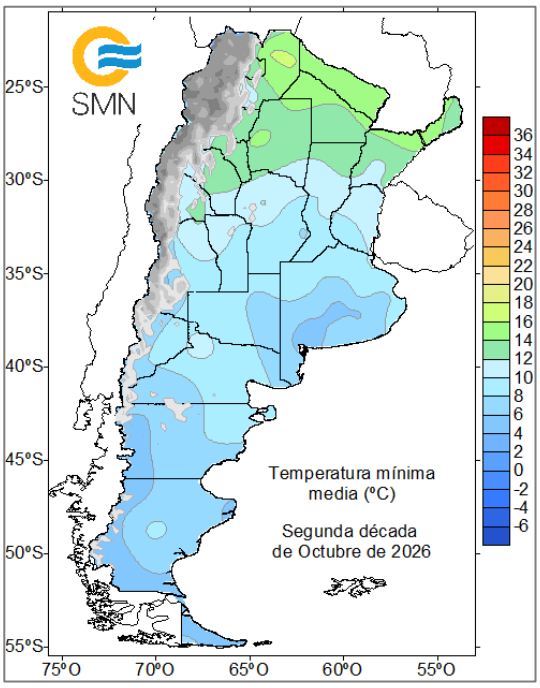


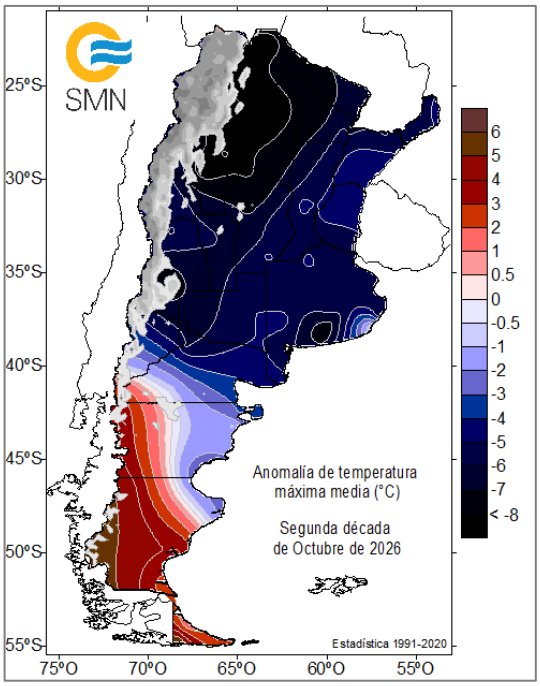


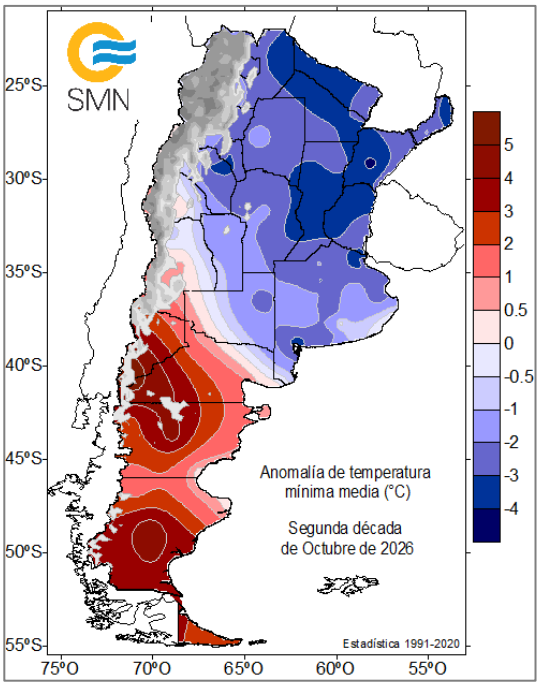


Las temperaturas máximas y mínimas mostraron rangos reducidos de valores en todo el territorio, lo que determinó un patrón de dipolo entre el norte y centro-este y el sur del país en el campo de anomalías, que alcanzaron para las máximas valores extremos de entre 5 °C y 10.4 °C negativos en provincias del NOA, Norte, Cuyo, norte del Litoral y en localidades del sur de Buenos Aires, y positivos de más de 4 °C en Santa Cruz, superando los 5 °C y 6 °C en El Calafate y Ushuaia respectivamente. En los desvíos de las mínimas se observaron campos similares pero menos significativos, y de signo contrario en el sur de Cuyo y noreste patagónico.

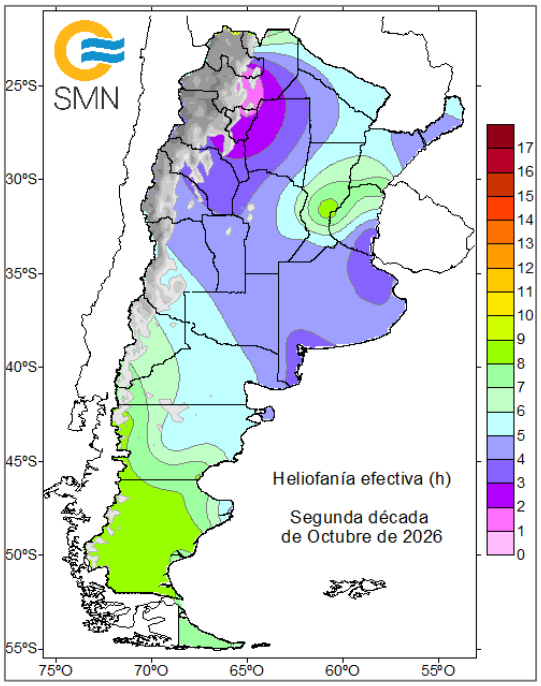


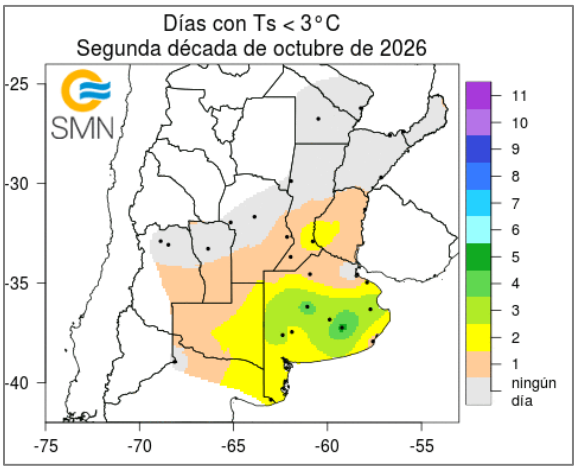






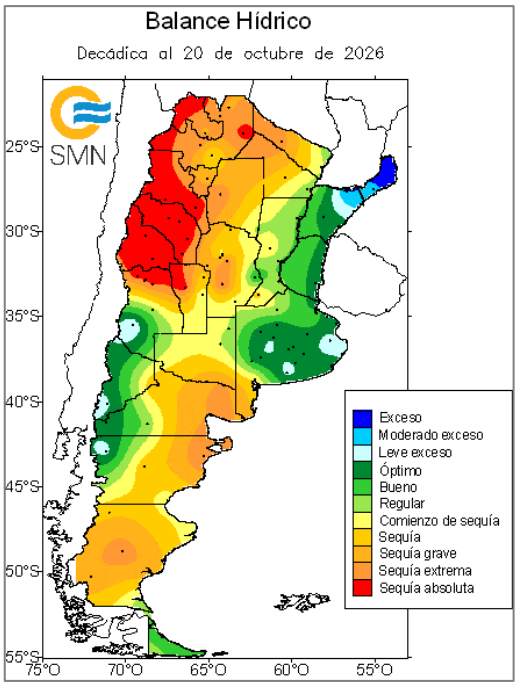
Debido a la cobertura nubosa que dominó a gran parte del territorio, inhibiendo los ascensos normales de temperatura diurna, persistieron en esta década las escasas horas de insolación.

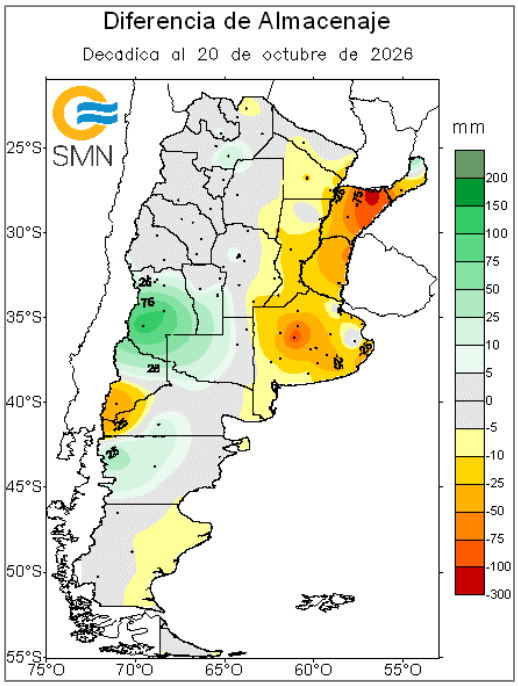




La temperatura a 5 cm del suelo descendió por debajo de los 3 °C en tres o cuatro días del periodo en la franja central de la provincia de Buenos Aires.

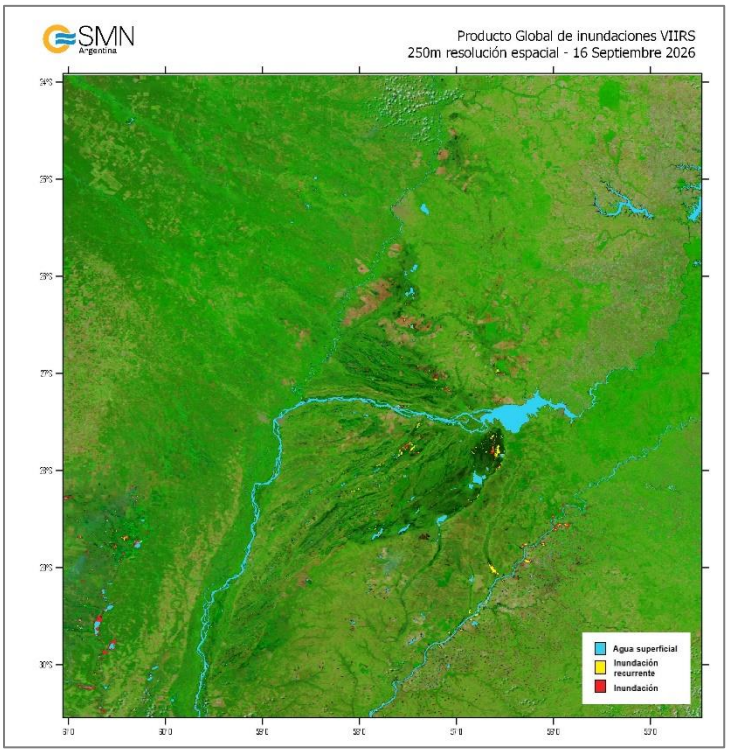
El balance hídrico muestra categoría de regular a óptima en el este de la región productiva de secano y en el sur de Cuyo y noreste patagónico, con algunas localidades aisladas de leves excesos, y almacenaje excesivo en Misiones y el norte de Corrientes. Las recargas extraordinarias del sur de Mendoza se evidencian en el aumento del almacenaje con respecto a la década anterior, mientras que los máximos desecamientos se observan en el centro del Litoral y algo menores en la provincia de Buenos Aires.

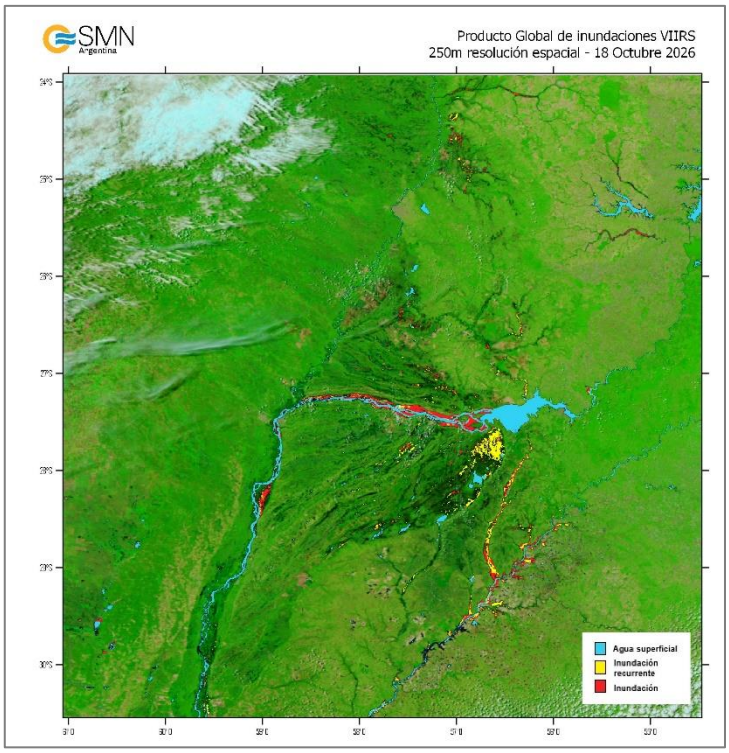




Las imágenes de estimación satelital de cobertura de suelo por agua[1] muestran cambios significativos entre el 16 de septiembre y el 18 de octubre de 2026, evidenciando en la última inundaciones por desbordes del río Iguazú en la frontera norte de Misiones, y algunas áreas menores en los tramos altos de los ríos Paraná y Uruguay.

[1] El Producto de Inundaciones Globales VIIRS en tiempo casi real (VCDWD – NRT, sus siglas en inglés) proporciona un mapa diario de inundaciones de 250m de resolución espacial, derivada de los satélites NOAA-20 y





NOAA-21. El producto es una composición de 3 días, se acumulan las detecciones de agua de todas las observaciones (de ambos satélites) y si el total supera un umbral requerido, el píxel se clasifica como agua superficial (cian), inundación recurrente (amarillo) o inundación (rojo), según capas de referencia independientes para agua superficial y para inundaciones recurrentes. Se recomienda comparar con la composición falso color (VIIRS: M11-I2-I1) para descartar áreas de sombra de nubes o áreas que no consideró el producto VCDWD. Esta composición color resulta útil para distinguir los cuerpos de agua y áreas con mayor contenido hídrico en superficie, estos se pueden observar en tonos oscuros (casi negro), la interpretación visual contribuyendo a un rápido monitoreo de las condiciones de excesos o déficits hídricos en superficie (no representa el contenido hídrico del perfil).

Para más información del producto VCDWD dirigirse a
https://www.earthdata.nasa.gov/data/instruments/viirs/near-real-time-data/nrt-global-flood-products